

# 補強材 및 排水促進材로서 Geotextile 의 効果에 관한 實驗的 研究

An Experimental Study on Geotextile Effects as Reinforcement  
and Vertical Drain Materials

金	秀	一*
Kim,	Soo	Il
柳	知	衡**
Yoo,	Ji	Hyeung
趙	三	德***
Cho,	Sam	Deok

## Abstract

Geotextile effects as reinforcement and vertical drain materials are studied through the laboratory model embankments on weak clays. The experiments are carried out in four stages; no woven fabrics between clay-crushed stone boundary, fabrics between boundary with no initial pretensioning of fabrics, and fabrics between boundary with two different initial pretensionings of fabrics. In all stages, vertical drains utilizing non-woven fabrics are installed in the clay layer in square pattern to accelerate the consolidation.

The experimental model has plane dimensions of 32 cm×330 cm. The height for the clay container is 60 cm. The 47 cm height of crushed stone embankment is constructed over the 50 cm deep clay layer.

The time dependent pore pressures are measured utilizing the 8 piezometers installed symmetrically on both sides of the wall at different heights. The time dependent deformations are measured utilizing the LED indicating lamp matrix inserted in the crushed stone embankment and the dialgauges put on top of the clay layer where the crushed stones are not laid. The measurements are carried out for 10 days which is equivalent to the time required for the primary consolidation.

Through the experimental study, an analytical procedure is developed to predict the time dependent embankment settlement even if the top of the clay layer is reinforced with woven fabrics. This can be done through measuring the maximum pore pressures developed in the clay layer and comparing with the theoretical maximum pore pressures when no reinforcing fabrics are employed.

\* 正會員·延世大學校 工科大學 土木工學科 助教授

\*\* 延世大學校 大學院

\*\*\* 延世大學校 大學院

## 要旨

本研究에서는軟弱粘土地盤 위에 盛土時 補強材와 vertical drain材로서의 geotextile의效果를 模型實驗을 通하여 조사하였다. 實驗은 粘土層과 盛土層 사이에 woven fabric을 鋪設하지 않은 경우, fabric을 鋪設한 경우, fabric에 서로 다른 人爲的 引張力を 加한 2 가지 경우 등 4段階로 遂行하였으며 各段階마다 壓密을 促進시키기 위해 non-woven fabric을 使用한 vertical drain을 粘土層 内에 正方形으로 配置하였다.

實驗모델은 밀면이 32 cm×330 cm이며, 50 cm 粘土層 위에 47 cm 높이의 盛土堤防이 1:1.5의 기울기로 만들어졌다. 模型實驗臺의 양쪽 면에 對稱의 으로 8개의 piezometer를 設置하여 時間に 따른 空隙水壓을 測定하였으며 盛土堤防 内부에 LED 램프를 插入하여 時間に 따른 内部 變形을 조사하였고, 堤防이 設置되지 않은 粘土地盤 양쪽에는 dialgauge를 附着하여 隆起現象을 조사하였다. 이리한 實驗은 1次壓密에 要求되는 時間(約 10日) 동안 遂行되었다.

實驗으로부터 粘土層 内에 誘發된 最大過剩空隙水壓을 測定하여 woven fabric을 鋪設하지 않은 경우의 理論의인 最大過剩空隙水壓과 比較함으로써 補強材로서의 woven fabric을 鋪設하였을 경우에도 時間に 따른 盛土部沈下量을 算定할 수 있음이 밝혀졌다.

## 1. 序論

軟弱地盤 위에 堤防이나 構造物을 建設하여야 하는 경우가 날로 增加하고 있어 이에 따른 많은 難點을 解決하려는 努力이 傾注되고 있다. 따라서 軟弱地盤改良에 관한 여러 가지 工法이 開發되어 오던 중 工費가 比較的 낮고 施工이 容易한 合成樹脂物質인 geotextile을 使用한 工法이 開發되어 널리 利用되고 있다.

Geotextile은 1973年 最初로 스웨덴<sup>(1,2)</sup>에서 橋梁建設을 위해 補強材로 使用된 이래 最近에는 유럽을 비롯한 美國, 日本 등에서도 매우 多樣한 用途로 各種 土木工事에 使用되고 있으며 많은 理論 및 實驗論文이 發表되었다. 우리 나라에서는 1970年代 中盤에 高速道路建設 당시 補強材로 使用된 以來<sup>(3,4)</sup> 實質의인 利用이 이루 어지기 始作하여 이에 대한 활발한 研究가 必要하게 되었다. 또한, 1930年부터 軟弱地盤을 改良하기 위해 壓密促進工法인 sand drain工法이 널리 使用되어 오고 있으며 sand drain工法의 短點을 補完하기 위해 많은 研究가 되어 왔다. 1972年에는 Akzo Research Laboratory<sup>(5)</sup>에서 paper drain에 대한 Kjellman의 概念을 利用하여 non-woven fabric을 使用한 壓密促進工法이 研究되었다. 이工法은 sand drain工法과 同一한 效果를 나타내며 施工이 容易하고 材料購入

에 어려움이 없기 때문에 널리 使用되고 있다.

本研究에서는 壓密促進工法으로 使用되는 vertical drain工法 中에서 non-woven fabric을 使用한 vertical drain과 補強材로서의 woven fabric이 함께 使用될 때의 軟弱地盤의 變形運動을 測定, 分析하여 geotextile이 軟弱地盤에 미치는 效果를 檢討하고 補強材로 geotextile이 使用될 경우의 理論의인 沈下量 算定方法을 提示하고자 한다.

## 2. 模型實驗臺 및 實驗裝置

模型實驗臺는 道路堤防과 軟弱粘土地盤의 變形運動을 調查할 수 있도록 그림 2.1과 같이 製作하였다.

模型實驗臺의 規格은 道路工學의in面을 考慮하여 길이 170 cm, 폭 32 cm, 높이 60 cm의 上部와 低面 길이 330 cm, 폭 32 cm, 높이 60 cm의 下部構造를 鋼鐵 frame으로 製作하였다. 模型

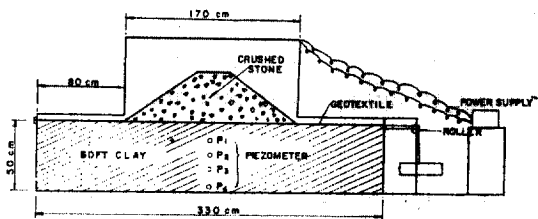


그림 2.1 模型實驗臺의 斷面

實驗臺의 底面에는 5 mm 두께의 鋼板을 깔아 上載荷重을 充分히 견딜 수 있도록 하였으며 模型實驗臺의 앞면과 뒷면에는 9 mm 두께의 아크릴板을 附着하여 粘土 및 盛土堤防의 舉動을 觀察할 수 있도록 하였다. 또한 側面變形을 防止하기 위해 側面壁을 鋼鐵 frame 으로 補強하였다.

模型實驗臺의 앞면과 뒷면의 아크릴板에는 盛土堤防의 變位를 測定하기 위해 가로, 세로 10 cm의 間隔으로 格子點(grid point)을 表示하고, 盛土中에 4 mm 直徑의 LED indicating 램프를 各 格子點에 設置하여 舉動을 觀察하였다. 過剩空隙水壓의 生成과 消滅을 調查하여 軟弱粘土地盤의 壓密沈下를 觀察하기 위해 模型實驗臺의 앞면과 뒷면의 中央線을 따라 底面에서 4 cm, 15 cm, 25 cm, 35 cm의 位置에 piezometer를 設置하였다. 또한, 盛土方向으로 二列로 pile을 打設하고 fabric을 pile에 連結시키는 등의 方法으로 fabric에 初期引張力を 加へ을 경우의 粘土 및 盛土部의 變形舉動을 調査하기 위하여 geotextile에 引張力を 加할 수 있도록 引張裝置를 模型實驗臺의 側面에 附着하였다. 引張力은 그림 2.1에서 보는 바와 같이 로울러를 附着하여 水平力を 垂直力으로 바꾸어서 荷重板에 載荷하였으며 本 實驗에서 加한 初期引張力의 크기는 盛土堤防重의 6% 및 13%에 해당하는 12 kg과 24 kg이었다.

### 3. 實驗

#### 3.1 材料의 基本性質

軟弱地盤을 形成하기 위해 使用된 粘土는 烹業用粘土로써 土性試驗 및 粒度分析을 實施하여 얻은 基本性質은 表 3.1과 같다. 또한, 實驗用粘土는 各 實驗段階別로 標準壓密試驗을 實施하였다. 各 實驗段階別 壓密試驗은 模型實驗臺에 粘土를 鋪設한 後 7~8日 동안 自重에 의한 壓密이 이루어진 堤防築造直前의 狀態, 두 경우에 대해서 實施하였으며 그 結果는 表 3.2에서 보여 주고 있다. 盛土材는 比重이 2.6, 均等係數 1.28, 單位重量  $1.26 \text{ g/cm}^3$ 인 느슨한 상태의 碎石을 使用하였다.

本 實驗에서 補強材로 使用된 woven type의

表 3.1 粘土의 基本性質

比 重	液性限界	塑性限界	塑性指數	分 類
2.55	59.5%	33%	26.5	MH

表 3.2 各 實驗段階別 粘土地盤의 性質

		1段階	2段階	3段階	4段階
實驗着手 前非壓密 狀態	含水比(%)	63	59	60	61
	$C_v(\text{cm}^2/\text{sec}) \times 10^{-4}$	7.4	7.2	7.6	7.2
	$k_s(\text{cm/sec}) \times 10^{-8}$	9.2	8.9	9.1	9.0
7~8日放 置後堤防 築造直前 狀態	含水比(%)	60	56	53	57
	初期空隙比	1.52	1.40	1.51	1.48
	$C_v(\text{cm}^2/\text{sec}) \times 10^{-4}$	0.322	0.2897	0.304	0.294
	$C_s(\text{cm}^2/\text{sec}) \times 10^{-4}$	4.55	4.72	4.78	4.69
	$C_u(\text{cm}^2/\text{sec}) \times 10^{-4}$	5.3	4.8	5.19	5.02
	$k_s(\text{cm/sec}) \times 10^{-8}$	6.9	5.7	6.81	6.21
	$k_u(\text{cm/sec}) \times 10^{-8}$	7.8	7.6	7.1	7.4

表 3.3 KOLON BIDIM U64의 製造方法 및 基本性質

Manufacture	Needle punched, continuous filament felt Grey	
Mass per unit surface(kg/m <sup>2</sup> )	0.05	
Thickness under (mm)	0.005bar	4.4
	2 bar	2.1
Porosity under (%)	0.005bar	91
	2 bar	81
Normal permeability under (m/sec)	0.02 bar	$3 \times 10^{-3}$
	2 bar	$7 \times 10^{-4}$
Radial permeability under(m/sec)	0.02 bar	$6 \times 10^{-4}$
	2 bar	$4 \times 10^{-4}$

geotextile은 國內 코오롱 株式會社에서 만든 코니매트로서 引張強度  $90.6 \text{ kg/cm}$ , 軟伸度 35~40%, 透水係數  $2 \times 10^{-4} \text{ ml/cm}^2/\text{sec}$ 의 K/M 8401을 使用하였다. 또한 vertical drain用으로 使用된 材料는 코오롱에서 提供한 non-woven type의 KOLON BIDIM U 64号 폭 5 cm, 길이 57 cm로 잘라 使用하였으며, 製造方法 및 基本性質은 表 3.3과 같다.

본 實驗시 연약점토지반에 가해지는 최대수평응력은 약 0.045 bar로서 vertical drain의 수직방향 투수계수는  $1 \times 10^{-3} \text{ m/sec}$  이상인 것으로

판단된다.

### 3.2 實驗方法

模型實驗臺를 통한 實驗은 50 cm의 軟弱粘土地盤을 形成하여 正方形으로 non-woven fabric 으로 vertical drain을 設置하고, 地盤의 安定을 圖謀하기 위해 7~8日 放置한 後 1) woven fabric 을 鋪設하지 않은 1段階 2) 引張力を 加하지 않고 fabric 을 鋪設한 2段階 3) fabric에 12 kg의 引張力を 加한 3段階 및 4) fabric에 24 kg의 引張力を 加한 4段階의 네段階로 區分, 實施하였다.

各 實驗段階마다 軟弱地盤의 含水比는 59~60 % 範圍에 들게 하여 鮑和度가 96~100 %가 되게 하였으며, vertical drain은 piezometer에 直接的인 影響을 주지 않도록 그림 3.1과 같이 piezometer를 中心으로 15 cm 間隔으로 正方形配置를 하였다. 各 實驗段階마다 模型實驗臺에 粘土를 鋪設한 直後에 44個의 non-woven fabric 을 約 10分에 걸쳐 插入하였다. 그림 3.2는 vertical drain이 設置된 模型實驗臺를 위에서 摄影한 寫眞이다.

模型實驗臺 内에 50cm 높이로 鋪設된 粘土가 自體 壓密이 끝난 後 堤防을 築造하였으며, 堤防을 築造하는 동안 堤防의 舉動을 살피기 위해

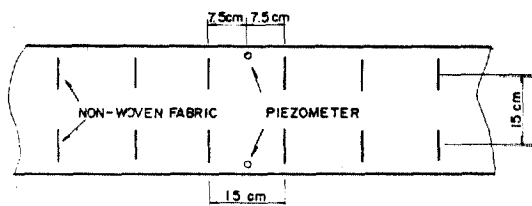


그림 3.1 Vertical drain의 設置圖

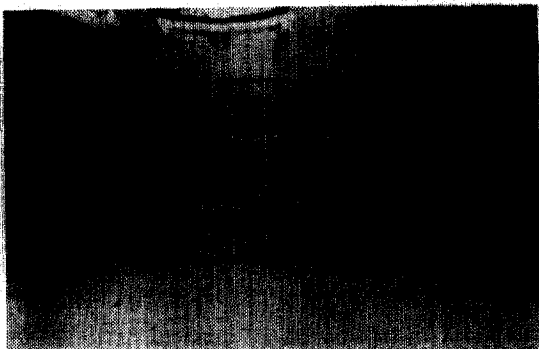


그림 3.2 Vertical drain을 設置한 實驗臺

LED indicating 램프를 格子點에 設置하였다. 堤防 築造에 所要된 時間은 約 1時間이었다. 또한 堤防兩側面의 隆起現象을 調査하기 위해, 實驗臺의 兩쪽에豫想 最大隆起가 發生되는 地點을 中心으로 3~4個의 dialgauge를 設置하였다.

堤防內의 變位와 隆起現象의 測定은 盛土하는 동안에는 10cm 盛土가 끝날 때마다 實시하였고, 盛土完了 後에는 盛土始作부터 2, 4, 8時間 및 1, 2, 3, 5, 10日 後에 實시하였으며, 過剩空隙水壓은 1, 2, 4, 8時間 後에, 그 以後는 每日 測定하였다. 壓密이 終結된 後에는 堤防을 除去하고 軟弱粘土地盤의 表面에서의 沈下量을 測定하고, 베인剪斷試驗을 實施하여 剪斷強度의 變化를 測定하였다.

### 4. 結果分析

#### 4.1 過剩空隙水壓의 生成과 消滅

本 實驗에서는 壓密을 促進시키기 위해 vertical drain을 設置하고 實驗을 實施하였다. 壓密度 100% 到達 時間을 理論的으로 算定하여 實驗한 結果와 比較하면 다음과 같다.

壓密度 100%는 理論的으로는 생각할 수 없으나 近似值인 99.99%에 到達되는 時間은 vertical drain을 設置하지 않은 경우에 Terzaghi의 壓密理論으로부터 식 (4-1)에 의해 계산할 수 있다.

$$t = \frac{T_v \times H^2}{C_v} \quad (4-1)$$

여기서,

$t$  : 所要時間

$H$  : 軟弱地盤의 두께

$C_v$  : 垂直方向의 壓密係數

$T_v$  : 時間係數

식 (4-1)로부터 vertical drain을 設置하지 않은 경우의 壓密度 100%에 到達時間을 各 實驗段階別로 계산하여 平均值를 구하면 約 229日이 所要된다. 또한, vertical drain을 設置한 경우에 空隙水는 垂直方向과 放射形으로 排水되며, Carrillo<sup>(6)</sup>에 의하면 이 경우의 壓密度  $U^*$ 는 식 (4-2)로부터 算定된다.

$$(1 - U^*) = (1 - U_r)(1 - U_s) \quad (4-2)$$

여기서, 垂直方向만의 壓密度  $U_r$ 는 軟弱地盤의 깊이에 따른 變形率 分布를 구하여 Janbu<sup>(7)</sup>

가 提案한 圖表로부터 얻을 수가 있으며, 放射形 壓密度  $U_r$ 은 Barron<sup>(8)</sup>의 理論으로부터 식 (4-3)에 의해 算定할 수가 있다.

$$1-U_r = \exp\left[-\frac{8T_r}{F(n)}\right] \quad (4-3)$$

여기서,  $T_r$ 은 時間係數이며,  $F(n)$ 은 식 (4-4)로 주어진다.

$$F(n) = \left(\frac{n^2}{n^2-1}\right) \ln n - \left(\frac{3n^2-1}{4n^2}\right) \quad (4-4)$$

식 (4-4)에서  $n$ 은 有効影響圓의 直徑,  $d_e$ 에 대한 drain의 直徑,  $d_d$ 의 比이다. Barron<sup>(8)</sup>에 의하면 正方形 配置의 경우에는 drain 간격의 1.13倍가 有効影響圓의 直徑이 되며, Kjellman<sup>(9)</sup>에 의하면 폭이  $A$ 이고 두께가  $B$ 인 矩形斷面의 drain을 等價換算圓의 直徑으로 换算할 수 있는 데 이는 식 (4-5)와 같다.

$$d_e = X \frac{2A+2B}{\pi} \quad (4-5)$$

本 實驗에 使用된 係數들을 適用하여 식 (4-2)로부터 구한 壓密度 100%에 到達되는 각 實驗段階別 時間은 表 4.1 과 같다. 또한, non-woven fabric을 가지고 vertical drain을 設置하여 壓密을 促進시킨 결과, 過剩空隙水壓의 生成과 消滅 상태는 그림 4.1 및 그림 4.2에서 보여주고 있다. 그림 4.1은 各 實驗段階別 isocrone으로서 時間이 경과함에 따라 最大 過剩空隙水壓의 發生 위치가 깊이 方向으로 移動함을 보여주며 補強材로서의 woven fabric의 有無에 관계없이 같은 형태를 나타내므로 woven fabric을 鋪設한 경유에도 時間に 따른 壓密度의 解析이 가능함을 보여준다. 이 結果는 金秀一, 裴主振<sup>(10)</sup>의 實驗結果와一致하는 現象이다. 그림 4.2는 piezometer를 設置한 各 位置에서의 過剩空隙水壓이 堤防築造完了後 18~36時間에 經過하여 最高點에 到達하며, 模型實驗臺의 低面에 가까울수록 時間이 길어질을 보여주는 테, 이는 粘土의 透水係數의 영향에 의한 것으로 判斷된다. 또한, piezometer를 設置한 各 位置에서 發生된 過剩空隙水壓은 10日以內에 완전히 消滅되었다. 이는 理論的으로 算定한 表 4.1의 結果와 잘一致함을 보여준다.

#### 4.2 沈下現象

各 實驗段階別 豫想 最終沈下量은 軟弱地盤을 몇개의 층으로 나누어 각 층의 變形率로부터 계

表 4.1 Vertical drain 設置時 壓密度 100% 到達時間

	1段階	2段階	3段階	4段階
$C_v (\text{cm}^2/\text{sec}) \times 10^{-4}$	4.55	4.72	4.78	4.69
$C_r (\text{cm}^2/\text{sec}) \times 10^{-4}$	5.30	4.80	5.19	5.02
$t (\text{day})$	9.05	9.84	9.11	9.41

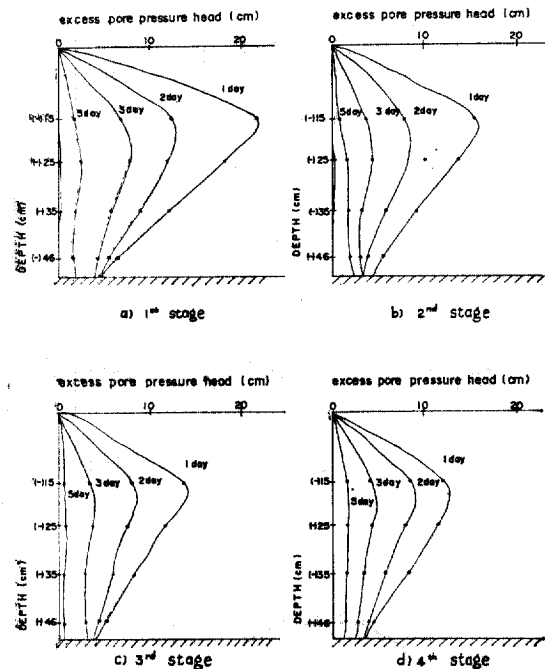


그림 4.1 各 實驗段階別 過剩空隙水壓의 isocrone

산할 수가 있다. 各 實驗段階別豫想 最終沈下量을 本 實驗에 使用된 係數들을 代入하여 算定하면 다음과 같다.

먼저 軟弱粘土層을 그림 4.3 과 같이 4 層으로 나누고 各 層의 中央點(point 1, 2, 3, 4)을 잡아 各 點들에서의 上載壓力(overburden pressure)  $P_0$ 를 구한다. 다음 堤防盛土로 인한 各 層에서의 應力增加  $\Delta P$ 는 Osterberg<sup>(11)</sup>가 提案한 圖表로부터 決定한다. 따라서 各 層의 沈下量은 식 (4-6)으로 계산할 수 있다.

$$\Delta H = e_i H_i = \frac{C_c}{1+e_0} \log \frac{P_0 + \Delta P}{P_0} H_i \quad (4-6)$$

여기서,

$C_c$  : 壓縮指數

$e_0$  : 初期空隙比

全沈下量은 各 層의  $\Delta H$ 의 合으로 계산되므로

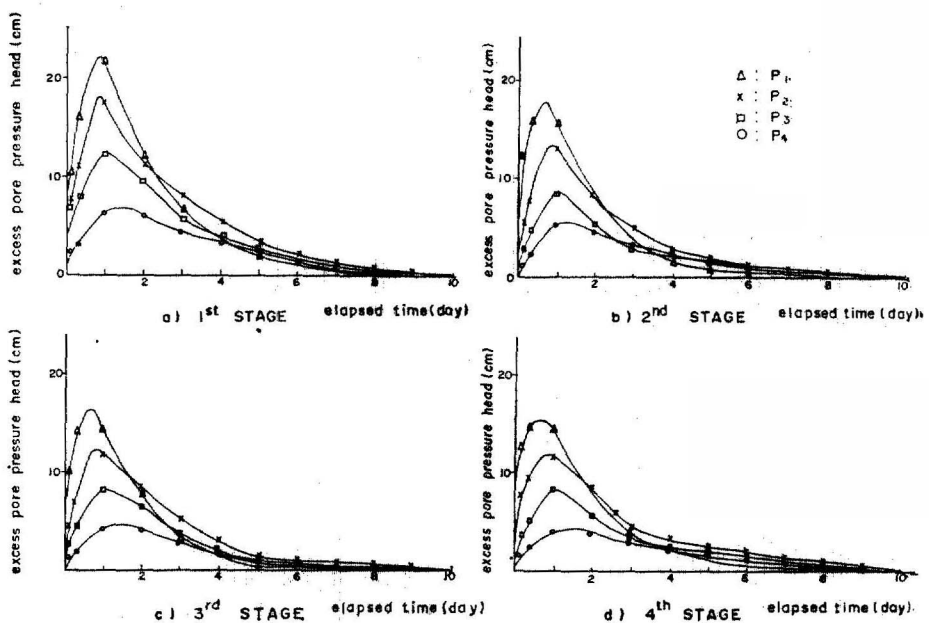


그림 4.2 각 实驗段階別 時間에 따른 過剩空隙水壓의 生成과 消滅

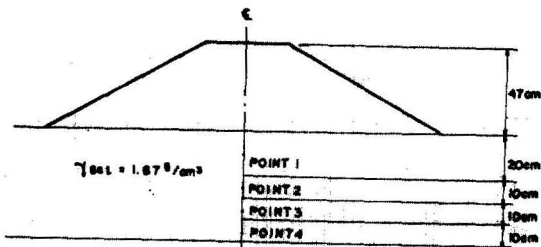


그림 4.3 模型實驗 斷面

woven fabric을 鋪設하지 않은 경우의豫想 最終沈下量이 算定된다.

本 實驗의 경우 woven fabric을 鋪設하지 않은 경우의豫想 最終沈下量을 算定하면 44.63 mm로 계산된다.

P.N. Sundaram<sup>(12)</sup>은 初期過剩空隙水壓이 Boussinesq의 垂直應力增加보다 상당히 작음을 보여 주었으며, Newmark type chart로부터 初期過剩空隙水壓分布를 決定할 수 있음을 提案하였다. 그림 4.4는 woven fabric을 鋪設하지 않은 경우에 Newmark chart로부터 구한豫想 初期過剩空隙水壓 distribution와 各 實驗段階別 實際

初期過剩空隙水壓 分布를 나타낸 것이다. 그림 4.4에서 알 수 있듯이 實驗段階가 1段階에서 4段階로 變해갈수록, 初期過剩空隙水壓은 減少하는데 이러한 初期過剩空隙水壓의 減少는 woven fabric에 發生한 引張力과 摩擦力의 垂直成分이 載荷荷重을 減少시키는 結果로 判斷된다. 그러므로 woven fabric을 鋪設치 않은 상태의 初期過剩空隙水壓에 대한 各段階別 初期過剩空隙水壓의 減少量,  $\Delta U_{s,i}$ 가 woven fabric을 鋪設치 않은 경우의 應力增加,  $\Delta P_i$ 의 應力減少量과 같다고 假定하면 woven fabric을 鋪設한 경우의 各層에서의 應力增加  $\Delta P'_i$ 은 式 (4-7)과 같이 表示할 수 있다.

$$\Delta P'_i = \Delta P_i - \Delta U_{s,i} \quad (4-7)$$

이와 같은 概念을 導入함으로써 woven fabric을 鋪設한 경우, 12 kg과 24 kg의 引張力を 加한 경우의豫想 最終沈下量을 계산할 수 있다.

各 實驗段階에서 測定된 表 3.2의 壓縮指數와 初期空隙比를 利用하여 式 (4-6)에  $\Delta P$  대신  $\Delta P'_i$ 를 代入함으로써豫想 最終沈下量이 계산된다. 本 實驗에서 얻은 各 實驗段階別 實際沈下量은 表 4.2와 같으며, 時間に 따른 實際沈下

表 4.2 實驗段階別豫想 및 實際 沈下量

(mm)

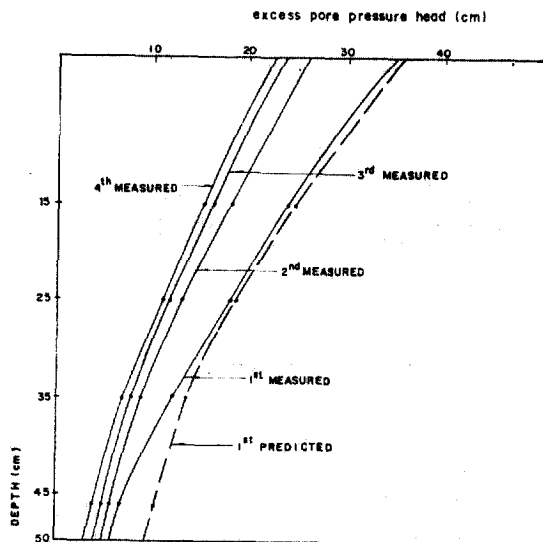


그림 4.4 最大過剩空隙水壓分布

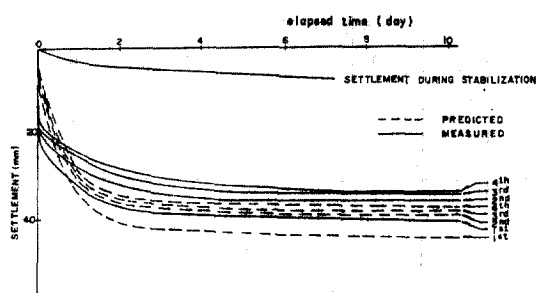


그림 4.5 時間に 따른豫想沈下量과 實際沈下量

量과豫想沈下量을各段階別로圖示한것이  
그림4.5이다. 또한woven fabric을鋪設하지  
않은 경우의沈下量을基準으로各段階別豫想  
및 實際沈下量을百分率로換算한값이表4.3  
에 나타나 있다.

表4.2,表4.3 및 그림4.5에서 보는바와  
같이, 實驗結果 woven fabric을鋪設한경우에  
는約14%, 12kg의引張力を加한경우에는約  
17%, 24kg의引張力を加한경우에는約19%  
의沈下量減少現象이 나타났다. 이러한沈下  
量減少効果는理論的으로解析한豫想沈下量  
에서도 거의 같은結果로나타나고있다. 그러  
므로表4.2에서보여주는바와같이模型實驗  
臺自體에대한問題點과理論解析上假定事項  
에起因된것으로判斷되는,豫想沈下量과 實

表 4.3 實驗 1段階에 대한各段階別沈下量의百分率  
(%)

	1段階	2段階	3段階	4段階
豫想值	44.6	39.8	39.28	38.09
實際值	42.0	36.0	35.0	34.0

表 4.4 實驗段階別 狀態에 따른剪斷強度

(kg/cm<sup>2</sup>)

狀態	實驗段階			
	1段階	2段階	3段階	4段階
實驗着手前 非壓密狀態	0.012	0.0105	0.011	0.014
堤防築造直前狀態 (7~8日放置)	0.019	0.017	0.018	0.018
壓密終結狀態	0.027	0.024	0.025	0.028

際沈下量사이의全段階에 걸친6~9%의誤差  
를 무시한다면, woven fabric을鋪設한경우에  
도空隙水壓을測定하여壓密解析을함으로써  
沈下量을豫想할수있음을알수있다.

또한,軟弱地盤을鋪設하고vertical drain을  
設置한後地盤의安定을위하여7~8日동안  
自體壓密을시킨結果그림4.5에圖示한바와  
같이平均9mm의沈下가發生되었다.表4.4  
는各實驗段階別로壓密狀態에따른剪斷強度  
의變化를보여준다.表4.4에서보는바와같이  
7~8日間自體壓密시키는동안剪斷強度가  
平均34%增加되었는데,이는thixotropy效果  
와vertical drain으로인한排水促進의影響인  
것으로判斷된다.

#### 4.3 堤防內의變位

壓密이終結된後堤防內에서發生된水平,  
垂直變位를圖示한것이그림4.6과그림4.7  
이다.이그림들에서보는바와같이堤防內의  
變位는woven fabric을鋪設하고引張力を  
加함에따라減少함을알수있는데,특히堤防先  
端에서의水平變位의크기를比較해보면fabric  
을鋪設하지않은경우에는15mm,fabric을鋪

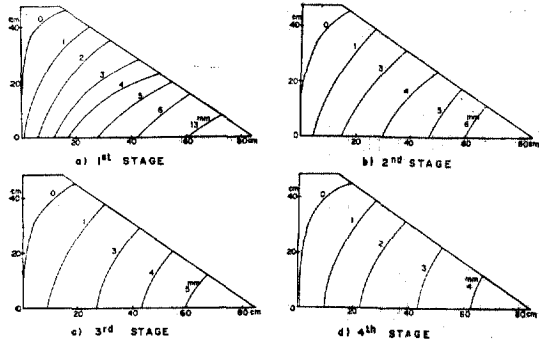


그림 4.6 堤防內의 等垂直變位圖

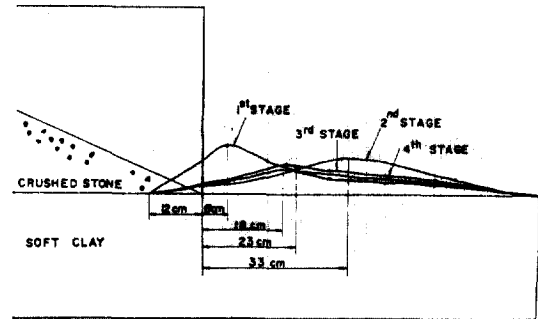


그림 4.8 實驗段階別 隆起曲線

woven fabric을 鋪設한 경우가 鋪設하지 않은 경우에 비해 훨씬 더 멀리 떨어져 있으나, 引張力を 加하면 盛土堤防쪽으로 移動하는 것을 알 수 있다. 또한, woven fabric을 鋪設하지 않은 경우에는 堤防先端 근처에서 급격한 곡선형태를 보여주지만, woven fabric을 鋪設한 경우에는 완만한 곡선형태를 나타내는데, 이는 woven fabric에 發生된 引張力의 영향으로 判斷된다.

隆起은 堤防先端부터 發生되는 것이 아니라, 堤防先端에서 堤防中央部를 向해 12 cm 만큼 떨어진 位置에서 發生되기始作하는 것이 實驗結果 밝혀졌다. 이러한 結果는 二方向 壓密現象에 起因된 것으로 判斷된다.

## 5. 結論

本研究에서는 軟弱地盤 盛土時 geotextile의 效果를 檢討하기 위한 模型實驗을 實施하였다. 模型實驗은 垂直 및 水平變位에 미치는 補強材로서의 woven fabric의 效果를 調査하기 위해 粘土層과 碎石 盛土層사이에 fabric을 鋪設하지 않은 1段階, fabric을 鋪設한 2段階 및 fabric 鋪設時 引張力 12 kg 및 24 kg를 가한 3, 4段階로 나누어 實施하였다. 또한 粘土層의 壓密을 促進시키기 위해서 每段階마다 non-woven fabric을 利用한 vertical drain을 插入하였다.

本研究에서 實驗結果를 分析함으로써 얻어진 結論은 다음과 같다.

- 1) 本研究에서는 軟弱地盤 盛土時 補強材로서의 woven fabric을 鋪設하는 경우 粘土層 内部에 piezometer를 設置한 後 盛土 中에 發生되

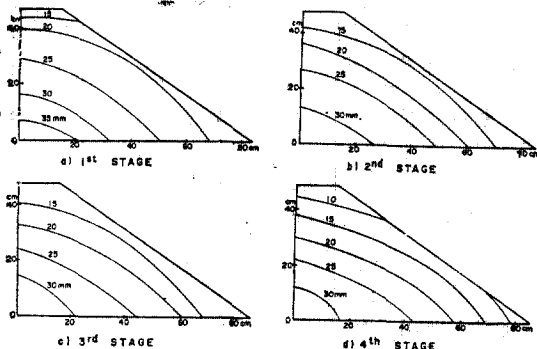


그림 4.7 堤防內의 等水平變位圖

設한 경우에는 8 mm, 12 kg의 引張力を 加한 경우에는 6 mm, 24 kg의 引張력을 加한 경우에는 5 mm로서, woven fabric을 鋪設함으로써 約 47%, 12 kg과 24 kg의 引張력을 加함으로써 約 60%와 67%의 堤防先端에서의 水平變位 減少效果가 나타났다. 이러한 woven fabric의 變位減少效果는 垂直變位보다는 水平變位에서 보다 크게 나타나는데 이는 woven fabric과 碎石間의 摩擦力에 의한 것으로 判斷된다.

## 4.4 隆起現象

그림 4.8은 各 實驗段階別 最大隆起曲線을 圖示한 것이다. 그림에서 보는 바와 같이 粘土地盤의 最大隆起높이는 woven fabric이 鋪設된 경우, 또는 引張력을 加한 경우에 減少되며 盛土堤防에서부터 最大隆起가 發生되는 位置는

는最大過剩空隙水壓을測定하여 fabric이鋪設되지 않은 경우의粘土層內部에發生되는理論의인最大過剩空隙水壓과比較, 分析함으로써fabric鋪設로인한盛土部沈下量減少效果를理論으로檢討할수있음이立證되었다.

2) 本實驗의경우,粘土地盤中央部의表面沈下量은 fabric의鋪設로인해 14%, 12kg과 24kg의引張力を加함으로써各各 17% 및 19%가減少되며,堤防先端에서의水平變位는 fabric의鋪設로인해 47%, 12kg과 24kg의引張력을加함으로써各各 60% 및 67%가減少되어 fabric의鋪設은垂直變位보다는水平變位의減少에더욱큰效果가있음이밝혀졌다.

3) non-woven fabric을使用한vertical drain은 sand drain의경우와같은解析方法을利用하여壓密度解析을할수있음이本實驗結果밝혀졌다.

### 参考文獻

1. Holtz, R.D., "Laboratory studies of reinforced earth using a woven plastic material", *Report (order No. 20505)*, Swedish Geotechn. Inst., 1973, p.58.
2. Holtz, R.D., and Massarch, K.R., "Improvement of the stability of an embankment by piling and reinforced earth", *6<sup>th</sup> Europ. Conf. Soil Mech. & Found. Eng.*, Vol III, 1976, pp.473~478.
3. 建設部,韓國道路公社,湖南-南海高速道路建設誌,建設部,1976.
4. 建設部,韓國道路公社,大邱-馬山高速道路建設誌,建設部,1978.
5. Risseeuw, P., and Elzen van den L.W.A., "Consolidation on compressible saturated subsoils with the use of non-woven strips as vertical drains", *Int. Conf. on the use of fabrics in geotechnics*, Vol. II, 1977, pp.265~271.
6. Carrillo, N., "Simple two and three dimensional cases in the theory of consolidation of soils", *J. Math. Phys.*, Vol. 21, 1942, pp.1~5.
7. Janbu, N., "Consolidation of clay layers based on non-linear stress-strain", *Proc. 6<sup>th</sup> ICSMFE*, Vol. 2, 1965, pp.83~87.
8. Barron, R.A., "Consolidation of fine-grained soils by drain wells", *Trans. ASCE*, Vol. 113, 1947, pp.718~754.
9. Kjellman, W., "Accelerating consolidation of fine-grained soils by means of card board wicks", *Proc. 2<sup>nd</sup> ICSMFE*, Vol. 2, 1948, pp.302~305.
10. 金秀一,裴圭振,"軟弱地盤盛土時Geotextile效果의實驗的研究", 산업기술연구소논문집, 第14集第1卷, 1982, pp.45~52.
11. Osterberg, J.O., "Influence values for vertical stresses in a semi-infinite mass due to an embankment loading", *Proc. 4<sup>th</sup> ICSMFE*, Vol. 1, 1957, pp.393~394.
12. Sundaram, P.N., "Initial excess pore pressure in soils", *Journal of the Soil Mech. and Found. Division, ASCE*, Vol. 106, 1980, pp.465~469.

(接受: 1982.11.12)